



## الخصائص النسيجية والجيوكيميائية لرسوبيات خزانات المياه الجوفية في منطقة غرب مكحول، العراق

سوسن حميد الهازاع<sup>1</sup>، سجي سامي محمد<sup>1</sup> و صبار عبد الله صالح<sup>1</sup>

الاستلام: 04/03/2017، القبول: 18/01/2018

الكلمات الدالة: خزان غرب مكحول الجوفي، التحليل السحيقي، التحليل الحجمي، تكوين إنحانة، العراق

### المستخلص

تقع منطقة الدراسة غرب تلال مكحول شمال مدينة بيجي وجنوب الشرقاً وتبلغ مساحتها الإجمالية (526) كم<sup>2</sup>. تم نمذجة بئرين لهذه الدراسة بواقع عينة واحدة بين (1 – 2) م وتم جمع 19 عينة (13) عينة من البئر الأول و 6 عينات من البئر الثاني) مع مراعاة حدوث التغيرات الصخearية في العينات أثناء عملية الحفر. تم تحفيض العينات التي تميز بأنها عينات فتاتية (رمل وطين) هشة ذات لون بنى. تبين من خلال إجراء عملية التحليل الحجمي بطريقة الغربلة الجافة والرطبة بأن عينات البئر الأول تراوحت بين الوحل الرملي والوحل (Sandy mud, Mud) بينما صفت عينات البئر الثاني بين الوحل الرملي والغرير الرملي (Sandy mud, Sandy silt). تم وصف السحبات الرسوبيّة من ناحية الصخearية والتسييج للبار المحفورة في منطقة الدراسة وتبيّن أن غالبية السحبات عائنة لتكون إنحانة مع ظهور بسيط لترسبات العصر الرباعي في الجزء الجنوبي الغربي من المنطقة، إن ترتيب هذه السحبات وتدالها مع بعضها بشكل عدسات أدى إلى تكون خزانات متعددة (Multi Aquifers) ضمن منطقة الدراسة. أدى وجود طبقات الرمل، التي تعد ذات مسامية متصلة أو فعلة كبيرة، إلى تحسين الخصائص الهيدروليكيّة وبالتالي عملت كطبقات خازنة أو مضيفة للمياه الجوفية. أظهرت المنحنين التراكمية أن عملية النقل الشائعة كانت بطريق القفز والتعليق وتعد هذه من الميكانيكيّات الشائعة للبيئات النهرية. ومن ملاحظة أشكال المنحنين الحجمية للنمذاج التي امتازت بشكل عام بوجود التوزيع الأحادي (Unimodal) الذي يدل على عدم تعرّض البيئة الرسوبيّة للتغيير قوي طول فترة الترسيب، كما لوحظ ظهور للتوزيع الثنائي (Bimodal) لبعض النماذج، بينما اقتصر التوزيع المتعدد (Polymodal) على بعض نماذج البئر الأول والذي يدل على عدم الانتظام في طاقة النقل ويُنبع عنه تباين في الأحجام الحبيبية. من خلال قياس الخصائص الكيميائية للمياه المستخلصة من الرسوبيات في البئر الأول وجد أن هناك ارتفاع في الأملاح الذائبة الكلية وأيون الكالسيوم في الأجزاء العليا من مقطع البئر بسبب الملوحة الناجمة عن التبخّر، يقابلها ارتفاع نسبي في المواد العضوية بسبب النشاط البشري مع قيم متعادلة للدالة الهيدروجينية في عموم نماذج البئر.

## TEXTURAL AND GEOCHEMICAL PROPERTIES OF AQUIFER SEDIMENTS IN WEST MAKHUL AREA, IRAQ

**Sawsan H. Al-Haza'a, Suja S. Mohamad and Sabbar A. Salih**

Key words: Makhul Aquifer, Facies Analysis, Grain Size Analysis, Injana Formation, Iraq

### **ABSTRACT**

The study area is located to the west of Makhul hills between north of Baiji City and south of Sharqat City covering a total area of about 526 Km<sup>2</sup>. Two wells have been sampled in the present study by taking one sample at (1 – 2) m. interval. A total of 19 samples were collected (13 samples from the first well and 6 samples from the second well), taking into account the lithological variations during the drilling process. The samples were characterized

<sup>1</sup> قسم الجيولوجيا التطبيقية، كلية العلوم، جامعة تكريت، تكريت، العراق،

\* البريد الإلكتروني: [sawsanalhazaa@yahoo.com](mailto:sawsanalhazaa@yahoo.com)

as clastic (sand and mud) brown in color and friable. The grain size analysis processes, using dry and wet sieving, revealed that samples of the first well can be classified as sandy mud and mud, while the second well samples are classified as sandy mud, and sandy silt. The sedimentary facies were described according to their fabric and lithology and found that the majority belong to the Injana Formation and Quaternary sediments, occurring in the southwestern part of the area. The order and overlap of these facies in lenses has led to the formation of multi aquifers. The presence of sand layers, with high connected porosity, has enhanced the hydraulic characteristics, and therefore, they worked as aquifer beds or host of ground water. The grain-size cumulative curves showed that the sediments were transported by saltation and suspension which are common mechanics of transportation in fluvial environment. The cumulative curves show a unimodal distribution, which indicates lack of changes in sedimentary environment during deposition. A bimodal distribution was noticed in some samples, whereas limited multi-distribution (polymodal) was found in some samples from the first well, which indicates lack of regularity in the transport energy and result in grain size variation. The chemical properties of the water extracts from the sediments indicate an increase in salinity and calcium concentration at the upper parts due to evaporation with increasing concentrations of organic matter due to human activity. Neutral pH was found throughout the section of the well.

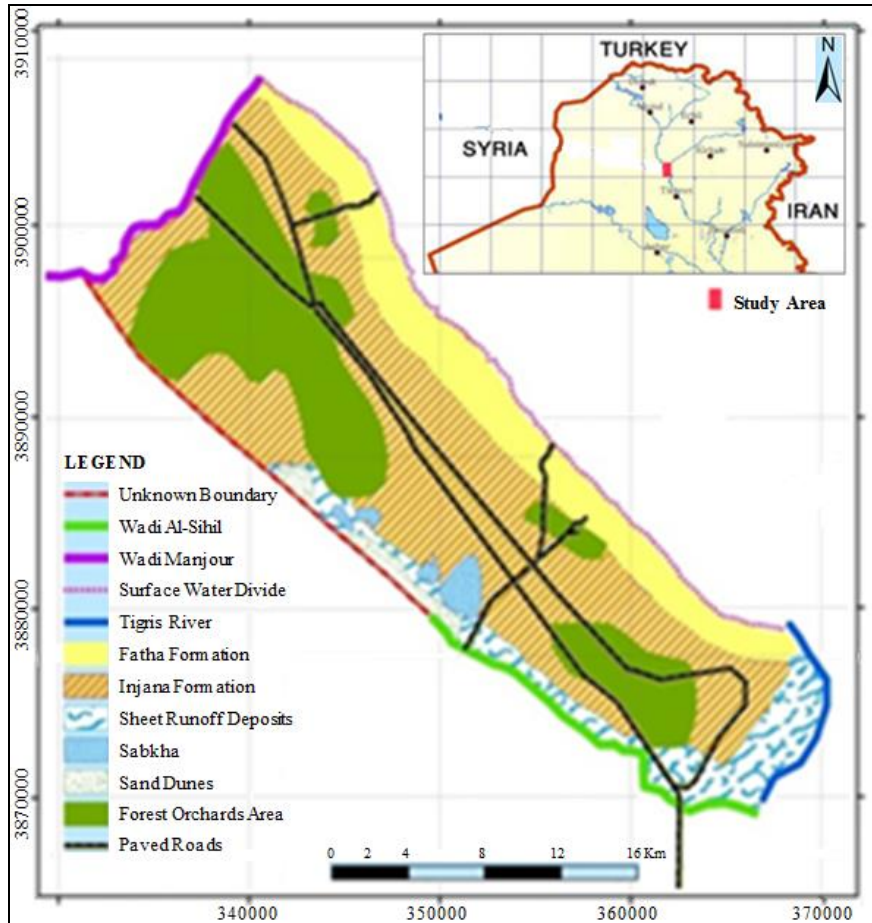
### المقدمة

يعد الحجم الحبيبي من الخصائص الطبيعية المهمة للصخور الفاتحية الرسوبيّة وهو موضع اهتمام الباحثين في مجال النفط والمياه الجوفية لكونه يرتبط بالمسامية والنفاذية (Boggs, 1997). يعتمد توزيع الحجم الحبيبي للرسوبيات الفاتحة على طبيعة الصخور المصدرية وعمليات التجوية والاحتكاك والتآكل خلال النقل (Blatt *et al.*, 1972) ويرتبط توزيع الحجم الحبيبي بالعمليات الترسيبية (Bogg, 1997; and Hartmann, 2004). تعد دراسة الخصائص الكيميائية لرواسب خزانات المياه الجوفية من الدراسات المهمة كون أن التركيب الكيميائي للمياه الجوفية هو النتيجة المزدوجة للمياه التي تدخل خزان المياه الجوفية والتفاعلات مع الصخور والرواسب المضيفة الحاوية على المعادن المختلفة (Appelo and Postma, 1999).

أنجزت مجموعة من الدراسات الإقليمية التي ضمت أجزاء مختلفة من منطقة الدراسة وكان أقدمها دراسة شركة Parsons, 1955 حيث درست مصادر المياه الجوفية في قاطع بييجي سامراء، شملت الجزء الجنوبي من منطقة الدراسة وتركزت حول دراسة الظروف الهيدرولوجية للأبار واسعة القطر والينابيع والكهاريز وكذلك دراسة الخواص الهيدروكيميائية للمياه الجوفية وصلاحتها للاستخدامات المختلفة. كما أنجز (Al-Kaisy, 1995) دراسة لتصريف المياه الجوفية في مدينة بييجي التي تمثل الحد الجنوبي للمنطقة ووضع تصميماً لخوض مناسبات المياه الجوفية وتقليل مخاطرها الهندسية والبيئية. قام (Kadhim and Al-Kaisy, 1996) بدراسة مصادر المياه الجوفية ومناسباتها ونوعيتها في مدينة بييجي. قام (العاني، 1997) بدراسة الاستثمار الأمثل للمياه الجوفية في منطقة (الفتحة – سامراء)، شملت جنوب منطقة الدراسة حيث تم فيها تقسيم النظام الهيدرولوجي في المنطقة على سبع وحدات هيدرولوجية، كما تم فيها تصميم شبكة آبار تتضمن الاستثمار الآمن للمياه الجوفية في المنطقة مع تقيير الاحتياطيات الكامنة والمتحركة والاستثمارية لهذه المياه. درس (Jones *et al.*, 2008) تأثير المنشآت الهندسية المقامة على نهر دجلة والفرات على الوضع الهيدرولوجي لمنطقة الدراسة لكون نهر دجلة يمثل الحد الجنوبي الشرقي وجزء من منطقة التصريف. درس (يحيى، 2011) كيفية استخدام تقانات الاستشعار عن بعد ونظم المعلومات الجغرافية في إعداد خريطة الترب غرب طيبة مكحول والتي تمثل الجزء الأكبر من منطقة الدراسة.

تتراوح أعمار الصخور المنكشفة في المنطقة من عصر المايوسين إلى العصر الحديث (شكل 1) وتعود أقدم الصخور المنكشفة في المنطقة إلى تكوين الفتحة، الذي يتتألف من تتابعات لصخور الأنهايدرايت (Anhydrite) والجبس (Gypsum) التي تتدخل مع الحجر الجيري والمارل الأحمر والأخضر على وفق الظروف البيئية البحرية من عمليات أكسدة واختزال (Al-Juboury and McCann, 2008). يلي ذلك ترسيات تكوين انجانة التي تعود إلى عمر (Basi and Karim, 1990)، وعد (Upper Miocene – Pliocene) بيئة الترسيب لهذا التكوين بيئة نهرية (Fluvial). يغطي هذا التكوين جزءاً كبيراً من منطقة الدراسة ويكون من عضويين أساسيين حيث يتكون العضو السفلي من تعاقب طبقات الحجر الطيني والحجر الغريني والحجر الرملي مع وجود طبقات قليلة السمك (20 – 40) سم وعدسات

من السيلينيات، (Hamza *et al.*, 1990). أما العضو العلوي فيكون من تعاقب طبقات الحجر الرملي والحجر الطيني المتكسرة وطبقات الحجر الغريني ذات السمك القليل (الجنابي، 2008). تتكون تربات العصر الرباعي من رواسب متماسكة أو شبه متماسكة من مزيج من الرمل والطين والحصى والغرين بشكل طبقات غير منتظمة (الناشا وآخرون، 2003). تحد طية مكحول المحدية منطقة الدراسة من الشرق والشمال الشرقي وهي أهم الظواهر التركيبية فيها وتنبع جنوب شرق - شمال غرب.



شكل 1: خريطة جيولوجية مبسطة لمنطقة الدراسة

#### مواد وطرق العمل

تم تنفيذ هذه الدراسة من خلال القيام بعملي حقلية بدأت بجولة استطلاعية للتعرف على طبوغرافية وجيومورفولوجية المنطقة ثم تم الإشراف على حفر بئرين وجمع نماذج من الفلات الصخري الناتج من عمليات حفر الآبار وبفاصله تراوحت بين متر إلى مترين لمراقبة التغيرات النسيجية، إضافة إلى وصف النماذج موقعياً. تم حفظ النماذج في أكياس ونقلت إلى المختبر لوصفها بشكل تفصيلي لغرض رسم المقاطع الطباقية.

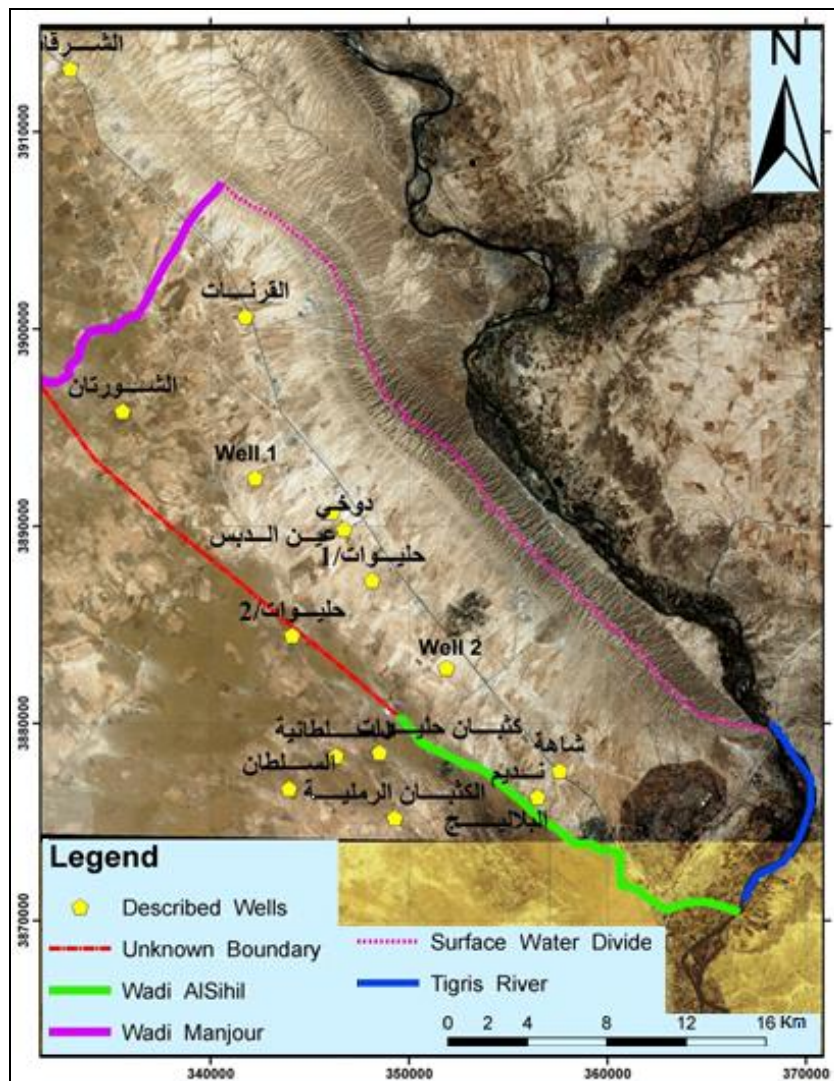
أجري التحليل الحجمي وحساب الوزن النوعي لنماذج من مقاطعة من الرسوبيات المأخوذة من الآبار والتي وصفت وصفاً حقلياً أولياً حيث تم عزل (19) نموذج على أساس المتغيرات النسيجية الضاهرية شملت (13) نموذج من البئر الأول و (6) نماذج من البئر الثاني وتم إتباع الطريقة المقترنة من قبل (ASTM, D-422, 2004)، وأجريت التحليلات في مختبرات قسم الجيولوجيا التطبيقية في كلية العلوم/ جامعة تكريت.

كما تم حساب الوزن النوعي حسب (ASTM, D854) لجميع نماذج الرسوبيات التي تم إجراء التحليل الحجمي لها وذلك لدخوله في المعادلات المستخدمة في حسابات نتائج التحليل الحجمي. أما التحليل الكيميائية المستخلص المائي لنماذج الرسوبيات المتمثلة بالأس الهيدروجيني، الإيسالالية الكهربائية، وأيون الكالسيوم فقدرة في مستخلص تربة: ماء بنسبة 1:1 وبحسب طريقة (Richard, 1954)، في حين قدرت المادة العضوية بطريقة الهمض الرطب، وأجريت هذه التحليلات في مختبرات قسم التربة والمياه في كلية الزراعة في جامعة تكريت.

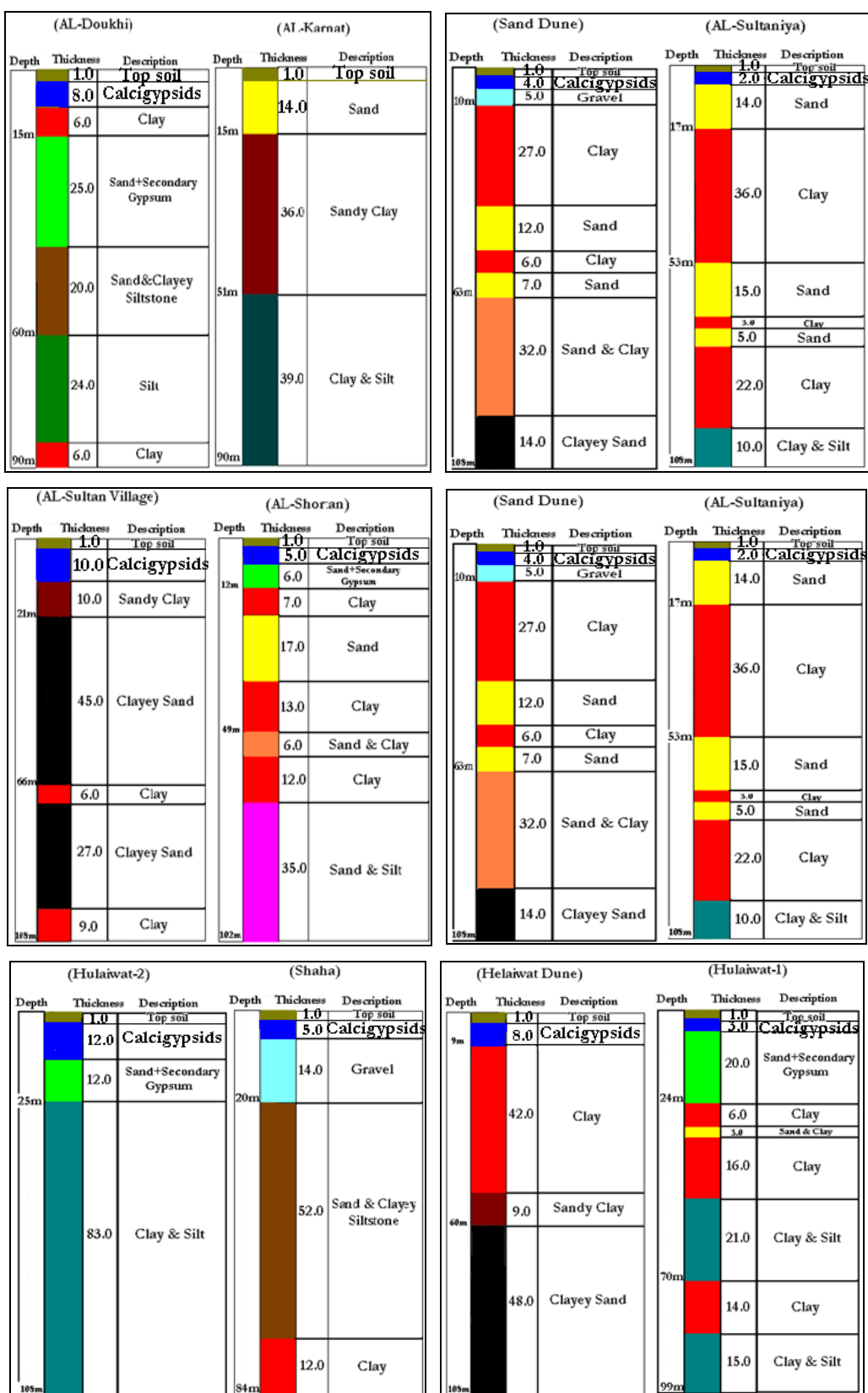
أعدت خريطة أساس للمنطقة واعتمدت في العمل الحقلـي وتم جمع المعلومات الجيولوجـية والهيدروجيـلـوجـية والهيـدروـجيـوكـيمـيـائـية والمناخـية ورسمـت خـريـطة جـيـولـوـجيـة مـبـسطـة لـالـمـنـطـقـة. أـجـرـيـ التـحلـيلـ الجـمـيـ لـنـمـاذـجـ الرـسـوـبـيـاتـ فـيـ مـخـتـرـاتـ قـسـمـ الجـيـولـوـجيـةـ الـتـطـبـيقـيـةـ فـيـ جـامـعـةـ تـكـرـيـتـ وـالـحـصـولـ عـلـىـ الـمـعـلـومـاتـ الـخـاصـةـ بـالـأـبـارـ الـمـحـفـورـةـ سـابـقاـ فـيـ الـمـنـطـقـةـ عـنـ طـرـيقـ الـهـيـثـةـ الـعـالـمـةـ لـلـمـيـاهـ الـجـوـفـيـةـ فـرـعـ صـلـاحـ الـدـينـ. أـجـرـيـتـ الـعـلـمـيـاتـ الـحـاسـيـلـيـةـ لـلـتـحلـيلـ الجـمـيـ لـلـرـسـوـبـيـاتـ وـاسـتـخدـمـتـ مـجـمـوعـةـ مـنـ الـبـرـامـجـ كـلـ حـسـبـ مـجـالـ اـسـتـخـدـامـةـ، حـيـثـ اـسـتـخـدـمـ بـرـنـامـجـ (Excel)ـ فـيـ رـسـمـ الـمـدـرـجـاتـ الـتـكـرـارـيـةـ لـنـتـائـجـ الـتـحـالـيلـ الـكـيـمـيـائـيةـ لـنـمـاذـجـ التـرـبـةـ، وـاسـتـخدـمـ بـرـنـامـجـ (Rockwork 15)ـ فـيـ رـسـمـ الـمـقـاطـعـ الـلـيـثـوـلـوـجـيـةـ لـالـأـبـارـ الـمـحـفـورـةـ سـابـقاـ فـيـ مـنـطـقـةـ الـدـرـاسـةـ فـضـلـاـ عـنـ الـأـبـارـ الـتـيـ حـفـرـتـ أـثـنـاءـ فـرـةـ الـدـرـاسـةـ. تمـ اـسـتـخدـمـ بـرـنـامـجـ (ArcGIS)ـ فـيـ رـسـمـ الـخـريـطةـ الـجـيـولـوـجيـةـ لـالـمـنـطـقـةـ وـتـسـقـيـطـ مـوـاـقـعـ الـأـبـارـ وـتـوـصـيـفـ الـلـيـثـوـلـوـجـيـ وـتـصـحـيـحـ الـخـرـائـطـ هـنـدـسـيـاـ وـإـخـرـاجـهـاـ بـشـكـلـهـاـ الـنـهـائـيـ. استـخدـمـ بـرـنـامـجـ (Grapher)ـ فـيـ رـسـمـ مـنـحـنـيـاتـ الـتـرـددـ الـتـرـاكـميـ لـنـمـاذـجـ الرـسـوـبـيـاتـ.

#### النتائج والمناقشة

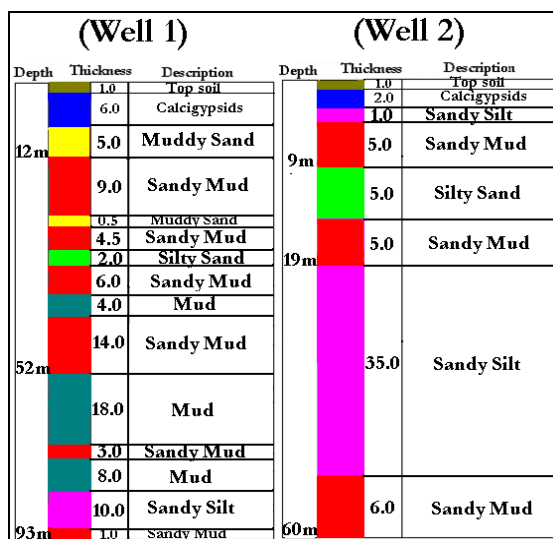
رسمـتـ الـمـقـاطـعـ الـصـخـرـيـةـ لـالـأـبـارـ الـمـحـفـورـهـ سـابـقاـ وـالـأـبـارـ الـتـيـ نـمـذـجـتـ أـثـنـاءـ الـعـلـمـيـاتـ الـجـيـولـوـجيـةـ موـاـقـعـهـاـ فـيـ الشـكـلـ (2)ـ لـلـاسـتـفـادـةـ مـنـهـاـ فـيـ تـوزـيعـ السـخـنـاتـ الـتـرـسـيـبـيـةـ وـالـبـيـئـيـةـ وـتـقـيـيـمـهـاـ إـلـىـ وـحدـاتـ هـيـدـرـوـسـترـاتـغـافـيـةـ. منـ خـالـلـ الشـكـلـينـ (3)ـ وـ(4)ـ، الـتـيـ تـمـ فـيـهـماـ وـصـفـ السـخـنـاتـ الـنـسـيـجـيـةـ، تـبـيـنـ وـجـودـ تـغـيـيرـ سـهـنـيـ وـمـوـجـودـةـ فـيـ مـقـاطـعـ الـأـبـارـ الـمـحـفـورـةـ فـيـ الـمـنـطـقـةـ، وـلـوـحـظـ أـنـ غـالـيـةـ السـخـنـاتـ تـعـودـ لـتـكـوـنـ اـنـجـانـةـ مـعـ ظـهـورـ بـسـيـطـ لـتـرـسـبـاتـ الـعـصـرـ الـرـبـاعـيـ فـيـ جـزـءـ الـجـنـوـبـيـ الـغـرـبـيـ مـنـ الـمـنـطـقـةـ، وـإـنـ تـرـتـيبـ هـذـهـ السـخـنـاتـ وـتـدـاـخـلـهـاـ مـعـ بـعـضـهـاـ بـشـكـلـ عـدـسـاتـ أـدـىـ إـلـىـ تـكـونـ خـزـانـاتـ مـتـعـدـدـةـ (Multi Aquifers)ـ ضـمـنـ مـنـطـقـةـ الـدـرـاسـةـ.



شكل 2: مرئية فضائية موضحـ علىـهاـ مـوـاـقـعـ الـأـبـارـ فـيـ مـنـطـقـةـ الـدـرـاسـةـ



شكل 3: الوصف الليثولوجي للأبار المحفورة سابقاً في منطقة الدراسة

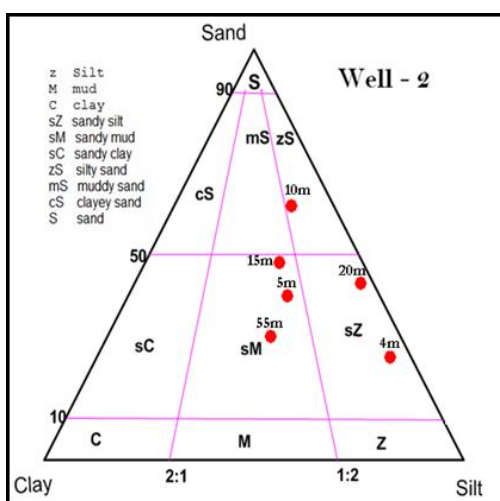


شكل 4: الوصف البيولوجي للأبار المحفورة لهذه الدراسة

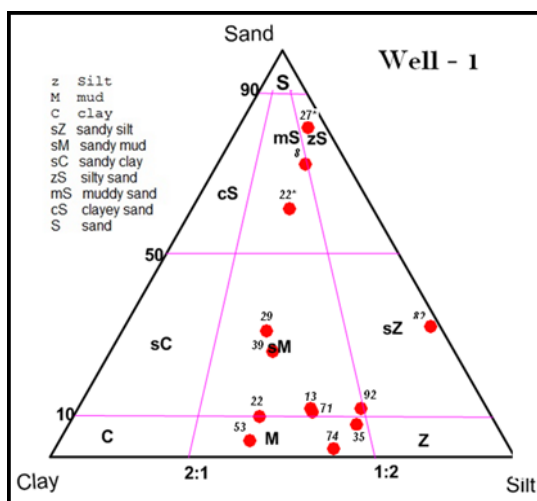
يستفاد من التحليل الحجمي بشكل أساسي في تعين وفهم خصائص الحجم الحبيبي والمواصفات النسيجية للرواسب إذ تكون هذه المعلومات ضرورية لتقدير بيئة التربة (Khalaf, 1985). تم حساب النسبة المئوية للأجزاء الحجمية (الرمل والغرين والطين) في (19) نموذج لتحديد نسيج الرواسب الناعمة (جدول 1) والاستعانة بتصنيف فولك (Folk, 1974) في تحديد أنواع الرواسب في الآبار التي تمت نمذجتها. تبين رواسب البئر الأولى وهي (13) نموذج ولاعمق مختلفة تتوزع كبرى تتمثل بخمسة أنواع من الرواسب إثنان منها سائنة وهي الوحل الرملي والوحلي (Mud and Sandy Mud) وظهرت الأنواع الأخرى بشكل ثانوي وهي الرمل الوحلي والرمل الغريني والغرين الرملي (Muddy Sand, Silty Sand and Sandy Silt)، في حين صفت رواسب البئر الثاني والمتمثلة بـ (6) نماذج ولاعمق مختلفة إلى ثلاثة أنواع إثنان منها سائنة وهي الوحل الرملي والغرين الرملي (Sandy Mud and Sandy Silt) وظهر الرمل الغريني (Silty Sand) بشكل ثانوي كما هو موضح في الشكلين (5) و (6). إن النسيج السائد في النماذج التي جرى تحليلها جديراً هو الوحل الرملي (Sandy Mud)، وقد أدى وجود طبقات الرمل، التي تعد ذات مسامية فعالة كبيرة، إلى تحسين الخصائص الهيدروليكية لخزانات المياه الجوفية وبالتالي عملت كطبقات خازنة أو مضيفة للمياه الجوفية، فضلاً عن ان وجود الرمل والغرين بنساب عالية تحت منسوب المياه الجوفية جعل من الطبقات المعنية مؤهلة لأن تكون خزان جوفي في حين إن زيادة نسبة الطين جعل منها طبقات حاصرة.

جدول 1: النسب المئوية للأجزاء الحجمية لنماذج الدراسة في البئرين

العمق في البئر الثاني (متر)	الطين (%)	الغرين (%)	الرمل (%)	العمق في البئر الاول (متر)	الطين (%)	الغرين (%)	الرمل (%)
4	5	70	25	8	9	19	72
5	38	41	21	13	38	51	11
10*	10	28	62	22	50	40	10
15	20	32	48	22*	18	21	61
20	3	54	43	27*	4	15	81
55	31	39	30	29	38	31	31
				35	30	62	8
				39	39	35	26
				53	55	41	4
				71	38	50	12
				74	38	60	2
				82	2	66	32
* عمق الماء الجوفي				92	27	61	12



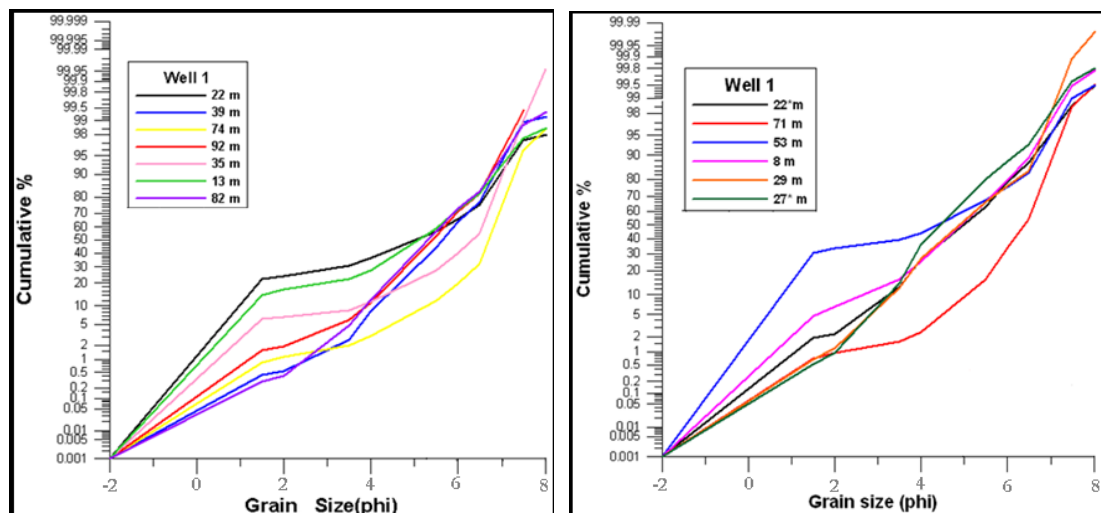
شكل ٦: الخصائص النسيجية للرواسب في  
البئر الثاني (Folk, 1974)



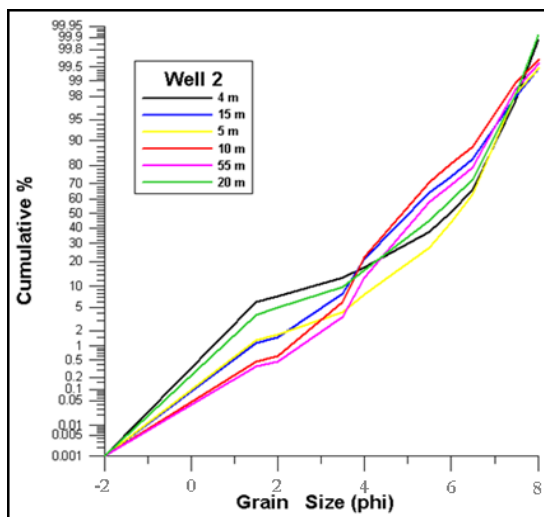
شكل ٥: الخصائص النسيجية للرواسب في  
البئر الأول (Folk, 1974)

يعكس شكل منحني التردد التراكمي (Cumulative Frequency Curve) الطرق الميكانيكية لنقل الرواسب والعمليات الترسيبية (Boggs, 1997). من ملاحظة أشكال هذه المنحنيات لنماذج الدراسة وجد أن كل منحني يتكون من عدة انكسارات ويدل ذلك على وجود اختلاف في الأحجام الحبيبية للرواسب المنقولة وبالتالي اختلاف سرعة نقلها وتجمعها. إن الاختلاف في الحجم الحبيبي قد ينعكس سلباً على كفاءة الخزانات الجوفية لأن الحبيبات الصغيرة يمكن أن تملأ المساحات الفارغة بين الحبيبات الأكبر وهذا من شأنه أن يؤدي إلى انخفاض المسامية الفعالة، وبالتالي نقل الناقلة. من خلال دراسة المنحنيات التراكمية لنماذج رسوبيات الآبار لأعماق مختلفة (الشكلين ٧ و ٨) تبين أن رسوبيات المنطقة نقلت بشكل أساسي بطريقة القفز والتعليق، وتعد هذه من الميكانيكيات الشائعة للبيئات النهرية، إذ تفتقر بيئة الشواطئ إلى ميكانيكية النقل بالتعليق حيث يتم غسل معظم المواد الناعمة بفعل الأمواج البحرية وتقتصر الرواسب في تلك الحالة على الحبيبات الرملية فقط (Friedman, 1967).

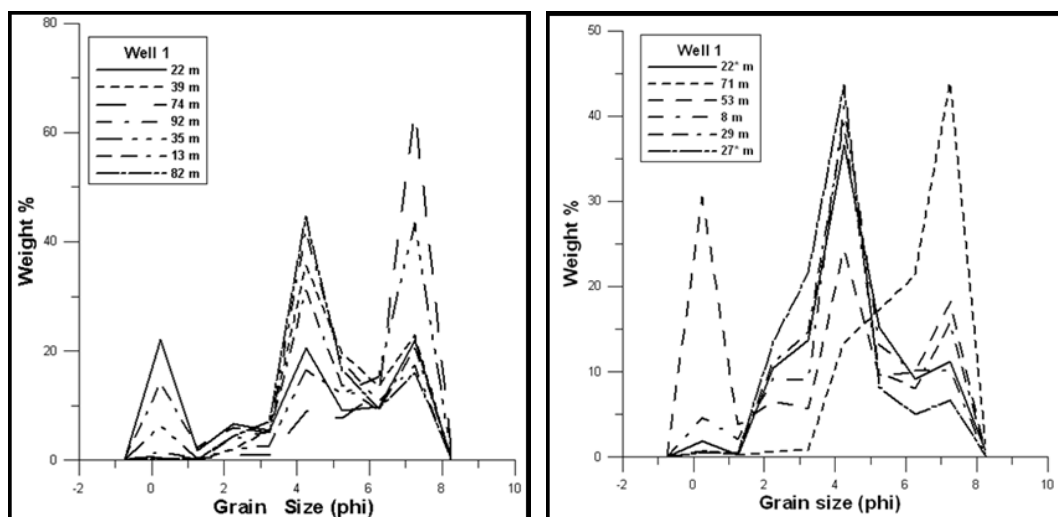
يستفاد من شكل منحني التردد الحجمي (Size Frequency Curve) في معرفة نوعية الفرز ودرجة التناظر ونوعية التوزيع (أحادي، ثانوي أو متعدد) (Friedman and Johnson, 1982). امتازت أشكال المنحنيات الحجمية لنماذج الدراسة الموضحة في الشكلين (٩) و (١٠) بوجود التوزيع الأحادي (Unimodal) بشكل عام الذي يدل على عدم تعرض البيئة الرسوبيّة للتغيير قوي طول فترة الترسيب. هناك ظهور التوزيع الثنائي (Bimodal) في بعض النماذج، بينما اقتصر التوزيع المتعدد (Polymodal) على بعض نماذج البئر الأول فقط ويدل على عدم انتظام طاقة النقل وينتج عنه تباين في الأحجام الحبيبية.



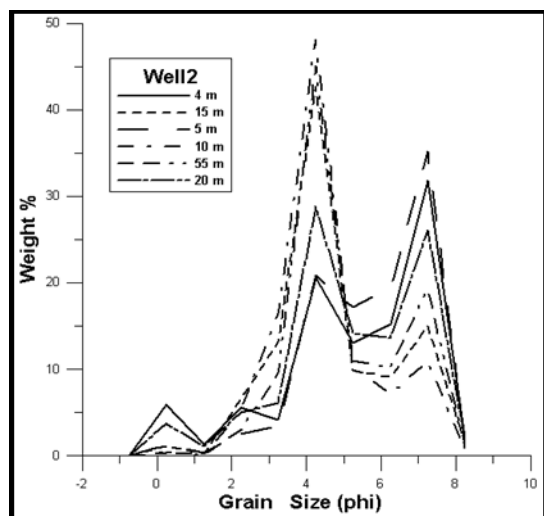
شكل ٧: المنحنيات التراكمية للحجم للحبيبي في رسوبيات البئر الأول



شكل 8: المنحنيات التراكمية للحجم الحبيبي في رسوبيات البئر الثاني

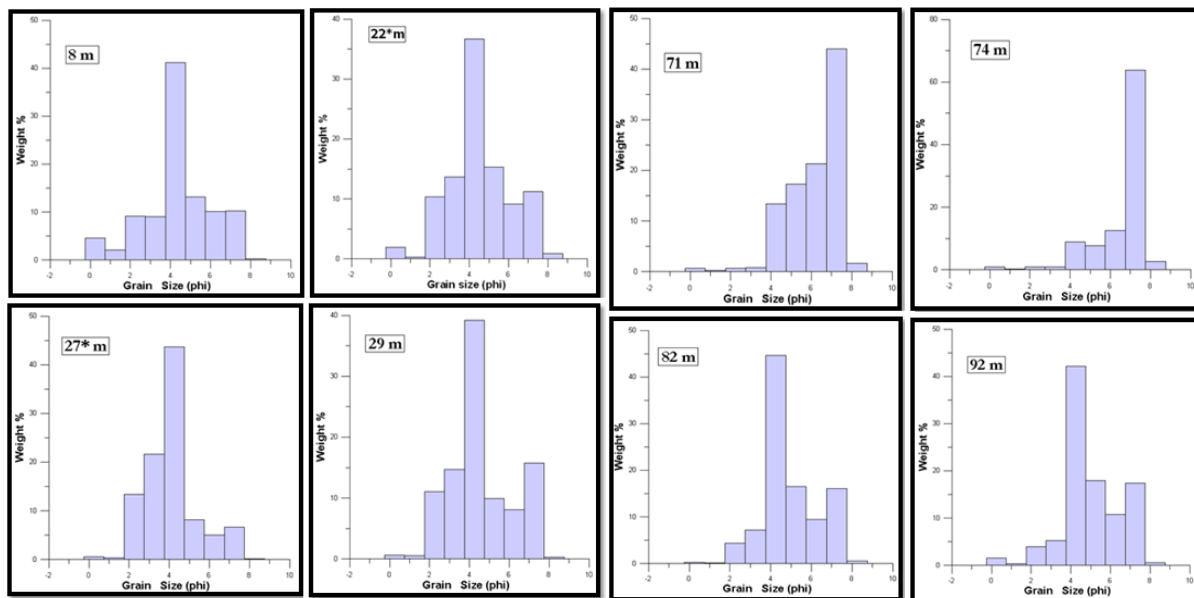


شكل 9: منحنيات التردد الحجمي لرسوبيات البئر الأول

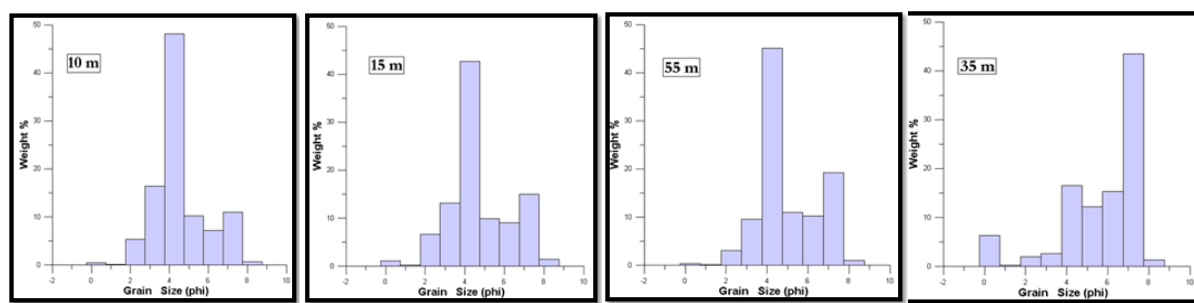


شكل 10: منحنيات التردد الحجمي لرسوبيات البئر الثاني

تم رسم المدرج التكراري بنفس طريقة رسم منحني التردد الحجمي ولكن لنموذج أو لعمق محدد لمعرفة التغير العمودي في مصادر الرسوبيات والتي تكون أما ذات مصدر أحادي، ثنائي أو متعددة المصادر. تبين المدرجات التكرارية لنموذج الرسوبيات في آبار الدراسة أنها أحادية المصدر في نماذج البئر الأول - 29 m - 27\* m - 22\* m - 8 m (شكل 11) والنماذج (55 m - 15 m - 10 m - 71 m - 35 m - 74 m - 71 m - 82 m - 74 m - 71 m - 35 m - 92 m) (شكل 12)، مما يدل على ان الفرز متوسط إلى جيد. تعد درجة الفرز العالية للحببيات ذات أهمية كبيرة للطبقات الخازنة للمياه الجوفية لأنها تتعكس إيجابياً على حجم المسامات المتصلة (الفعالة)، فضلاً عن ذلك فإن التوزيع الأحادي بصورة عامة يعكس الانظام في طاقة التيار مع وجود بعض الاضطرابات الموقعة (جدول 2). بینت المدرجات التكرارية ثنائية مصدر الرسوبيات في النموذجين (39 m - 20 m) للبئر الأول (شكل 13) والنماذجين (5 m - 4 m) للبئر الثاني (شكل 14) و بینت إنها ذات فرز رديء كما بینت دراسة النماذج (53 m - 22 m - 13 m) من البئر الأول وجود رواسب رديئة الفرز ومتعددة المصادر ولها مدى واسع من الحجم (شكل 15). ان وجود مدى واسع من الأحجام الحبيبية ينعكس سلباً على المسامية الفعالة ويعمل على تداخل الحبيبات مع بعضها وسد الفراغات وبالتالي يقلل من قابلية هذه الطبقات على خزن كميات كبيرة من المياه الجوفية مما يقلل من كفاءة الخزان الجوفي.



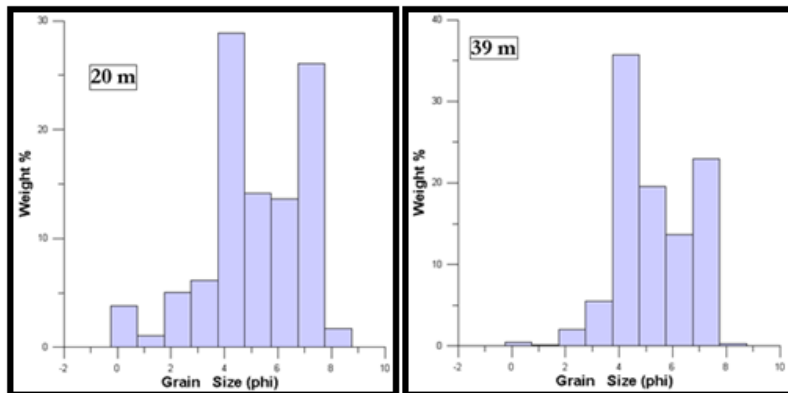
شكل 11: رسوبيات أحادية المصدر من البئر الأول



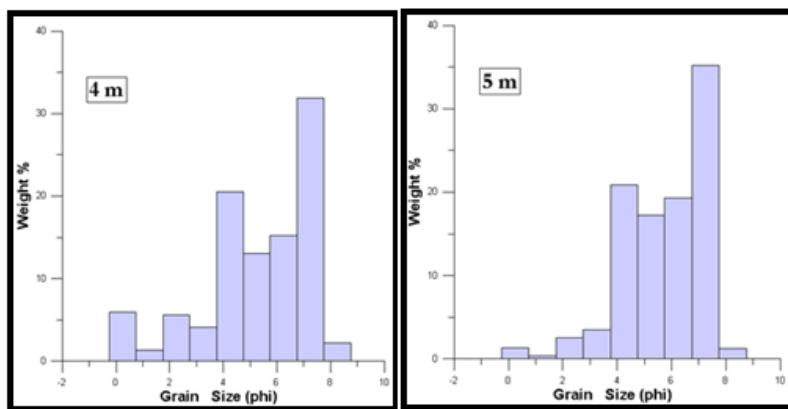
شكل 12: رسوبيات أحادية المصدر في البئر الثاني والبئر الأول (على عمق 35 متر)

الجدول 2: قيم فاي المقابلة للنسب الوزنية المئوية التراكمية للرسوبيات في آبار الدراسة

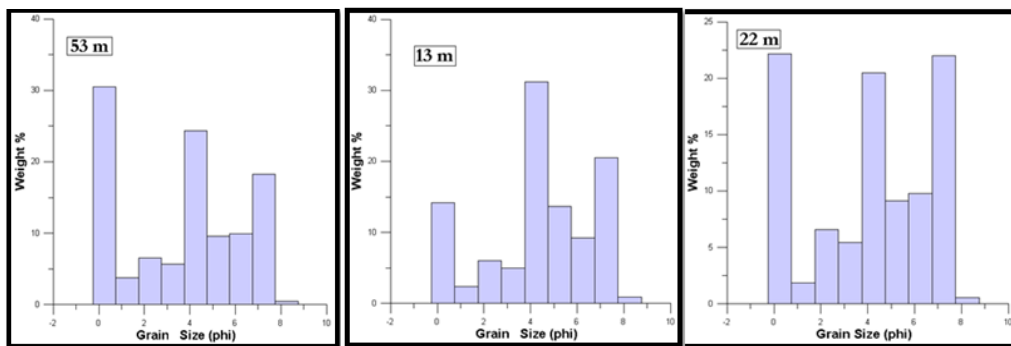
البئر الأول (Well 1)							
Ø95	Ø84	Ø75	Ø50	Ø25	Ø16	Ø5	النموذج
3.4	3.102	2.911	2.465	2.019	1.755	0.82	8 m
3.594	3.292	3.082	2.561	1.876	0.999	0.45	13 m
3.621	3.365	3.22	2.506	1.072	0.634	0.305	22 m
3.49	2.945	3.16	2.49	1.994	1.82	1.325	22* m
3.325	2.879	2.647	2.225	1.886	1.779	1.424	27* m
3.408	3.25	2.97	2.457	1.977	1.829	1.424	29 m
3.594	3.439	3.365	3.155	2.654	2.305	0.679	35 m
3.548	3.338	3.229	2.835	2.452	2.26	1.895	39 m
3.49	3.267	2.961	2.184	0.671	0.522	0.216	53 m
3.615	3.449	3.383	3.193	2.895	2.755	2.259	71 m
3.722	3.575	3.503	3.347	3.119	2.9	2.26	74 m
3.53	3.283	3.036	2.644	2.269	2.105	1.757	82 m
3.466	3.283	3.082	2.717	2.324	2.141	1.602	92 m
البئر الثاني (Well 2)							
Ø95	Ø84	Ø75	Ø50	Ø25	Ø16	Ø5	النموذج
3.644	3.435	3.331	3.001	2.341	1.96	0.701	4 m
3.635	3.435	3.349	3.088	2.689	2.402	1.847	5 m
3.461	3.115	2.862	2.445	2.055	1.934	1.682	10 m
3.565	3.279	3.027	2.524	2.081	1.934	1.517	15 m
3.6	3.383	3.279	2.854	2.272	2.012	1.03	20 m
3.557	3.323	3.158	2.637	2.264	2.081	1.812	55 m



شكل 13: الرسوبيات ثنائية المصدر في نماذج من البئر الأول



شكل 14: رسوبيات ثنائية المصدر في نماذج من البئر الثاني



شكل 15: رسوبيات متعددة المصادر في نماذج من البئر الأول

تعد المعاملات الاحصائية للحجم الحبيبي الأداة الأساسية في التحليل الميكانيكي للرواسب حيث تشير إلى طريقة تكونها ونطافها وخواص بيئتها التربوية. تم إيجاد قيم المعاملات الإحصائية لنماذج الرسوبيات موضوع الدراسة من خلال تطبيق المعاملات الموضوعة من قبل (Folk and Ward, 1957) التي تعتمد أساساً على المنحنيات التراكمية المرسومة لهذه النماذج وجد أن قيمة الوسيط في نماذج البئر الأول تتراوح بين ( $\varphi = 2.184 - 3.347$ ) في حين تراوحت قيمه في البئر الثاني بين ( $\varphi = 2.445 - 3.088$ )، وتراوحت قيمة الوسط الحسابي في نماذج البئر الأول بين ( $\varphi = 1.991 - 2.498$ ) بينما تراوحت قيمه في البئر الثاني بين ( $\varphi = 2.498 - 2.975$ ) (جدول 3). تبين قيمة الانحراف المعياري، الذي يشير إلى درجة الفرز، أن نماذج منطقة الدراسة في البئرين الأول والثاني وللأعماق ذات فرز (92 m - 82 m - 55 m - 39 m - 29 m - 27\* m - 22\* m - 15 m - 10 m - 5 m) هي (Moderately Well Sorted)، في حين أن درجة الفرز للأعماق (35 m - 20 m - 8 m - 4 m) هي (Poorly Sorted)، بينما ظهرت النماذج ذات الفرز الرديء (Moderately Sorted) في الأعماق (53 m - 22 m - 13 m)، والفرز الجيد في الأعماق (74 m - 71 m). إن التناظر السادس لنماذج البئر الأول كان بقيمة سالبة وتراوحت بين (Coarse Skewed) إلى (Very Coarse Skewed)، وتراوحت نماذج البئر الثاني مابين (Near Symmetrical) إلى (Very Coarse Skewed) وتعكس القيم السالبة للتناظر ميل الرواسب في الآبار المحفورة في منطقة الدراسة إلى الأحجام الخشنة، أما التفرطح فهو مقياس كمي لوصف مقدار الانحراف عن التوزيع الطبيعي (Normality).

جدول 3: المعاملات الإحصائية لنواتج التحليل الحجمي

(البئر الأول Well 1)						
النموذج	الوسط	الانتبا	الانحراف المعياري	التناظر	التفريط	
8 m	2.465	2.440667	0.727659	-0.16469	1.1854	
13 m	2.561	2.284	1.049614	-0.35264	1.068428	
22 m	2.506	2.168333	1.185174	-0.34921	0.632689	
22* m	2.49	2.418333	0.60928	-0.13366	0.760973	
27* m	2.225	2.294333	0.56303	0.173188	1.023782	
29 m	2.457	2.512	0.655856	0.037392	0.818847	
35 m	3.155	2.966333	0.725167	-0.59896	1.68027	
39 m	2.835	2.811	0.519955	-0.10206	0.871891	
53 m	2.184	1.991	1.182311	-0.20656	0.58594	
71 m	3.193	3.132333	0.378955	-0.31991	1.138807	
74 m	3.347	3.274	0.390265	-0.40572	1.560365	
82 m	2.644	2.677333	0.563136	0.042163	0.947379	
92 m	2.717	2.713667	0.567924	-0.10255	1.007829	

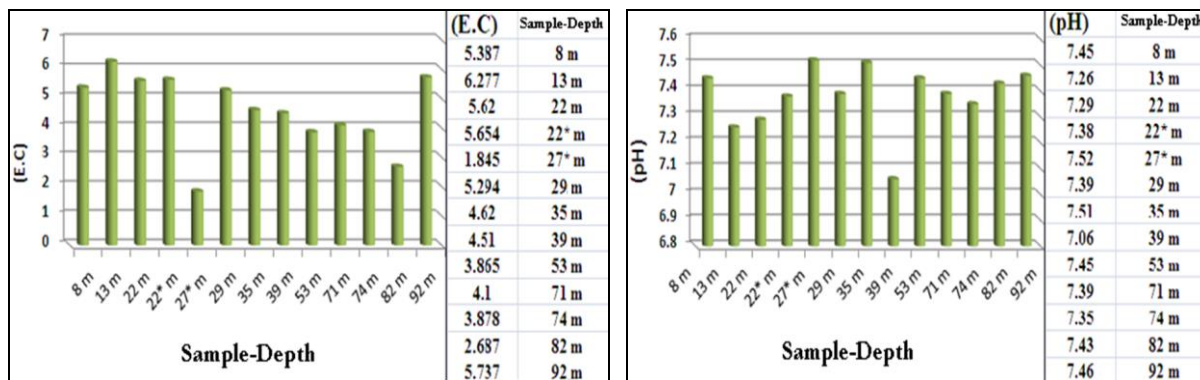
  

(البئر الثاني Well 2)						
النموذج	الوسط	الانتبا	الانحراف المعياري	التناظر	التفريط	
4 m	3.001	2.798667	0.814659	-0.48728	1.218331	
5 m	3.088	2.975	0.529159	-0.35816	1.110283	
10 m	2.445	2.498	0.564795	0.138423	0.903468	
15 m	2.524	2.579	0.646553	0.069639	0.887256	
20 m	2.854	2.749667	0.732144	-0.32388	1.045957	
55 m	2.637	2.680333	0.574894	0.079556	0.79996	

أجريت القياسات والتحليلات الكيميائية للمياه المستخلصة بالغسل من (13) نموذج لرسوبيات البئر الأول لغرض دراسة الخصائص الكيميائية للرواسب وتأثير الصخور الخازنة على نوعية المياه الجوفية وبالتالي معرفة أسباب ومصادر تلوث المياه وشملت قياس الدالة الهيدروجينية ونسبة أيون الكالسيوم والأملام الذائبة الكلية والمواد العضوية والتوصيلية الكهربائية. تراوحت قيم الدالة الهيدروجينية (pH) بين (7.06 - 7.52) (جدول 4 وشكل 16)، ويدل هذا على أن الرسوبيات في البئر الأول متعدلة وتقع ضمن الحدود المسموح بها حيث يؤخذ الأس الهيدروجيني بنظر الاعتبار في تقدير نوعية المياه. تراوحت قيم التوصيلية الكهربائية (EC) للنمذاج بين (6.277 - 1.845) dS/m كما هو موضح في شكل (17) ويدل ذلك على الملوحة العالية التي تتعكس سلباً على نوعية المياه الجوفية. تراوحت قيم الأملام الذائبة الكلية (T.D.S) للنمذاج ما بين (4.01 - 1.18) mg/l (شكل 18)، وتراوحت نسبة تركيز أيون الكالسيوم بين (26.2 - 5.2) meq/l (شكل 20) لوحظ ارتفاع نسبي في تركيز الأملام الذائبة الكلية وأيون الكالسيوم وقيم التوصيلية الكهربائية في الأجزاء العليا من البئر (جدول 4) مشيراً إلى ارتفاع تركيز الأملام الجبسية في الرواسب الأقرب للسطح بسبب التبخّر. كانت قيم المواد العضوية (O.M) قليلة جداً في النمذاج وتراوحت ما بين (0 - 0.48) mg/l (شكل 19) ولوحظ ارتفاعها في بعض النماذج الأقرب لسطح الأرض (باستثناء النموذج من العمق m39) ويدل ذلك على التلوث بسبب النشاط البشري في الزراعة وتربية الحيوانات.

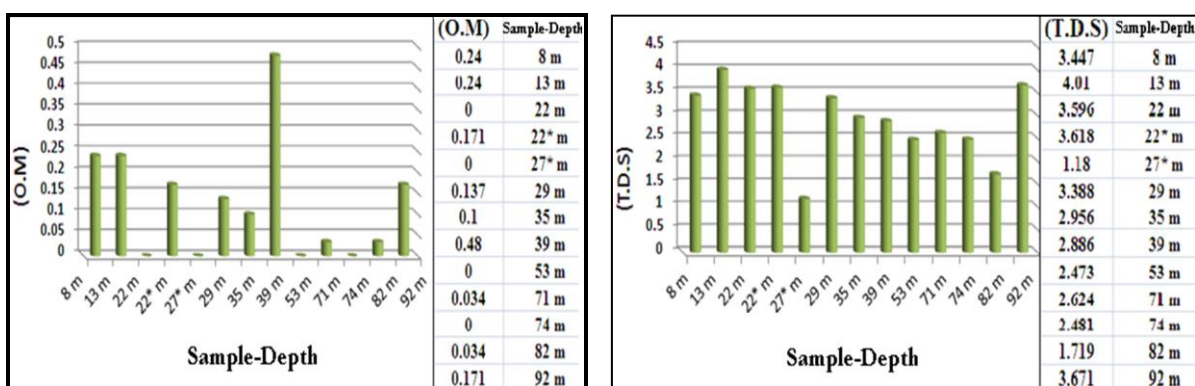
جدول 4: القياسات والتحليلات الكيميائية للمياه المستخلصة من رواسب البئر الأول

الكالسيوم $\text{Ca}^{2+}$ meq/l	الماء الذائب الصلب الكلية T.D.S g/l	التوصيلية الكهربائية EC dS/m	الدالة الهيدروجينية pH	الماء العضويه O.M mg/l	عمق النموذج متر
26	3.447	5.387	7.45	0.24	8 m
26.2	4.01	6.277	7.26	0.24	13 m
12	3.596	5.62	7.29	0	22 m
22	3.618	5.654	7.38	0.171	22* m
5.2	1.18	1.845	7.52	0	27* m
12	3.388	5.294	7.39	0.137	29 m
12.4	2.956	4.62	7.51	0.1	35 m
9.4	2.886	4.51	7.06	0.48	39 m
9	2.473	3.865	7.45	0	53 m
9.8	2.624	4.1	7.39	0.034	71 m
7.2	2.481	3.878	7.35	0	74 m
5.8	1.719	2.687	7.43	0.034	82 m
10	3.671	5.737	7.46	0.171	92 m



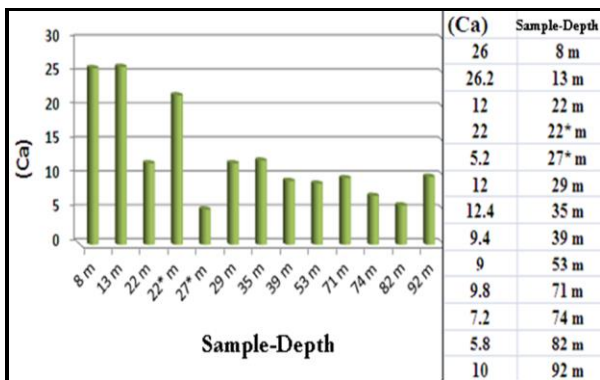
شكل 17: تغير قيم الدالة الهيدروجينية (EC) مع العمق

شكل 16: تغير قيم الدالة الهيدروجينية (pH) مع العمق



شكل 19: تغير قيم المواد العضوية (O.M) مع العمق

شكل 18: تغير قيم الأملاح الذائبة الصلبة الكلية (T.D.S) مع العمق



شكل 20: تغير قيم أيون الكالسيوم ( $\text{Ca}^+$ ) مع العمق

#### الاستنتاجات

- أن غالبية السحنات الرسوبيّة الضاهرة تعود لتكوين إنحانة مع ظهور بسيط لترسبات العصر الرباعي في الجزء الجنوبي الغربي من المنطقة، وقد أدى ترتيب هذه السحنات الرسوبيّة وتدخلها مع بعضها بشكل عدسات إلى تكون خزانات مياه جوفيّة متعددة (Multi Aquifers) ضمن المنطقة.
- الوح الرمل (Sandy Mud) هو النسيج السائد للرسوبويات في النماذج التي جرى تحليتها حجمياً ويعتبر وجود طبقات الرمل سبباً لتوفير مسامية فعالة أدت إلى تحسين الخصائص الهيدروليكيّة للخزانات الجوفيّة.
- عملية النقل الشائعة للرسوبويات التي جرت دراستها كانت بطريقتي الففر والتغليف وتعد هذه من الدلائل على البيئات النهرية لهذه الرواسب.
- هناك دلائل على الاستقرار النسبي للبيئة الرسوبيّة بشكل عام طول فترة الترسيب وأشار له التوزيع الأحادي (Unimodal) في أشكال المنحنيات الحجمية للنماذج رغم ظهور للتوزيع الثنائي (Bimodal) في بعض النماذج واقتصر التوزيع المتعدد (Polymodal) على بعض نماذج البئر الأولى مشيراً إلى عدم الإنظام في طاقة النقل الذي ينتجه عنه تباين في الأحجام الحبيبية.
- وجد أن هنالك ارتفاع نسبي في تراكيز الملوحة الكلية خاصة في الرواسب الأقرب للسطح والواقعة فوق مستوى المياه الجوفيّة في بعض نماذج البئر الأولى يرافقها ارتفاع في قيم التوصيلية الكهربائية وتراكيز أيون الكالسيوم في المياه المستخلصة من الرسوبيات ويعزى ذلك إلى التبخر الحاصل من المياه الجوفيّة بسبب الخاصيّة الشعريّة. وانعكس تأثير النشاط البشري في ارتفاع نسبي في تراكيز المواد العضوية في بعض نماذج الرواسب الأقرب للسطح، يقابلها قيم معتدلة للدالة الهيدروجينية في عموم مقطع البئر.

**المصادر**

- الجنابي، محمود عبد الحسن جويهيل، 2008. هيدروكيميائية الخزان الجوفي المفتوح وعلاقة مياهه برسوبيات النطاق غير المشبع في حوض سamerاء - تكريت (شرق دجلة)، قسم علوم الأرض التطبيقية، كلية العلوم، جامعة بغداد، رسالة دكتوراه (غير منشورة)، 154 ص.
- العاني، احمد عبد الله، 1997. الاستثمار الأمثل للمياه الجوفية لحوض الفتحة - سamerاء، جامعة بغداد - كلية العلوم، رسالة ماجستير (غير منشور)، 114 ص.
- النقاش، عدنان باقر وإسماعيل، سالم خليل وحسن، حسن احمد وراهي، خيون مطير، 2003. دراسة تقييم ووضع برنامج تشغيلي لأبار مشروع الحملة الوطنية لحفر الآبار المائية في محافظة كركوك والتوعس في حفرها مستقبلا، التقرير النهائي - وزارة الري - المديرية العامة لحفر الآبار المائية.
- حيبي، عمار سعد، 2011. استخدام تقانات الاستشعار عن بعد ونظم المعلومات الجغرافية في إعداد خارطة الترب غرب طيبة مكحول، جامعة تكريت - كلية الزراعة، رسالة ماجستير (غير منشورة)، 129 ص.
- Al-Juboury, A.I. and McCann, T., 2008. The Middle Miocene Fatha (Lower Fars) Formation, Iraq. Geo Arabia. Gulf Petro Link Bahrain, Vol.13, No.3, p. 141 – 174.
- Al-Kaisy, S.A., 1995. Suggested system to drain ground water and draw down its levels in Baiji City. Tikrit Journal for Engineering Science. Vol.5, No.1, p. 50 – 59.
- Appelo, C.A.J. and Postma, D., 1999. Geochemistry, Groundwater and Pollution. Rotterdam: AA. Balkama, 536pp.
- ASTM, D422 – 63, 2004. Standard Test Method for Particle- Size Analysis of Soil.
- Basi, M.A. and Karim, S.A., 1990. The stage report of the Local geological survey, Vol.2. Laboratory studies GEOSURV, int. rep. no. 264.
- Blatt, H., Midilton, G. and Murray, R., 1972. Origin of sedimentary rocks. Prentice-Hall, Inc., New Jersey, 634pp.
- Boggs, S.J., 1997. Principles of Sedimentology and Stratigraphy. Prentice-Hall, 488pp.
- Folk, R.L., 1974. Petrology of Sedimentary Rocks, Hemphill Publishing Comp., Texas, 182pp.
- Folk, R.L., and Ward, W.C., 1957. Brazos River bar: Study in the Significance of grain-size parameters. Jour. Sed. Petrol, Vol.27, p. 3 – 26.
- Friedman, G.M., 1967. Dynamic process and statistical parameters compared for size frequency distribution of beach and river sand. Journal of Sedimentary Petrology. Vol.37, p. 327 – 354.
- Friedman, G.M., and Johnson, K.G., 1982. Exercises in Sedimentology .John Wiley and Sons, New York, 208pp.
- Hamza, N.M., Lawa, F., Yacoub, S.Y., Mussa, A.Z. and Fouad, S.F., 1990. Regional Geological Stage Report, Project C.E.S.A., Geological Activity. GEOSURV, int. rep. no. 2023.
- Hartmann, D., 2004. From reality to model: The parameterization problem of particle size distributions. Int. Workshop, HWK, Delemenhorst, p. 65 – 67.
- Jones, C., Sultan, M., Yan, E., 2008. Hydrologic impacts of engineering projects on the Tigris – Euphrates system and its marshlands, Journal of Hydrology. Vol.353, No. 1 – 2, p. 59 – 75.
- Kadhim, L. and Al-Kaisy, S., 1996. Groundwater, Resources, levels and types in Baiji City, Iraqi Journal for Science, Vol.27, No.2, p. 47 – 60.
- Khalaf, F., 1985. Manual of methods and procedures for Sedimentary Petrography, Kuwait Institute for Scientific Research (KISR), 154pp.
- Parsons Company. 1955. Groundwater Resources of Iraq, Vol.3, Baiji Samarra Area, Development Board, Ministry of Development, 74pp.
- Richards, L.A. 1954. Diagnosis and improvement of saline and alkali soils. Agricultural Handbook 60. U.S. Dept. of Agriculture, Washington D.C., 160pp.

### About the authors

**D. Sawsan H. Al-Haza'a**, graduated from Baghdad University, in 1990 with B.Sc. degree in geology, M.Sc. in Sedimentology From Baghdad University in 1996, Ph.D. in Sedimentology in 2001 from the same university. Her major field of interest is Sedimentology. She is working as assistant professor at Tikrit University, Iraq.

e-mail: [sawsanalhazaa@yahoo.com](mailto:sawsanalhazaa@yahoo.com)



**Suja S. Mohamad**, graduated from Tikrit University, in 2011 with B.Sc. degree in geology, M.Sc. in Hydrogeology in 2014 from the same university. Her major field of interest is geology of water resources.



**D. Sabbar A. Salih**, graduated from Salahaddin University, Erbil in 1987 with B.Sc. degree in geology, M.Sc. in Hydrogeology From Baghdad University in 1992, Ph.D. in Engineering Hydrogeology in 2001 from the same university. His major field of interest is geology of water resources. He is working as professor at Tikrit University, Iraq.

